

Stochastyczne dyskretne kryształ y czasu: produkcja entropii i synchronizacja subharmoniczna

Lukas Oberreiter ¹, Udo Seifert ¹, i Andre C. Barato ² II. Institut für

¹Theoretische Physik, Universität Stuttgart, 70550 Stuttgart, Niemcy Wydział Fizyki, Uniwersytet

²w Houston, Houston, Teksas 77204, USA



(Otrzymano 17 lutego 2020 r.; poprawiono 24 czerwca 2020 r.; zaakceptowano 22 grudnia 2020 r.; opublikowano 15 stycznia 2021 r.)

Kryształ y czasu dyskretne to układy napędzane okresowo, które wykazują spontaniczne łamanie symetrii niezmienności przesunięcia w czasie w postaci nieokreślonych oscylacji subharmonicznych. Przedstawiamy termodynamicznie spójny model dyskretne kryształ u czasu i analizować go w ramach termodynamiki stochastycznej. W szczególności oceniaamy szybkość rozpraszania energii tego wielociałowego układu oddziałyujących między sobą oscylatorów subharmonicznych w kontakcie z łańcuchem łańcuchem Model pola średniego przedstawia zjawisko synchronizacji subharmonicznej, które odpowiada zbiorowym oscylacjom subharmonicznym poszczególnych jednostek. Model 2D nie wykazuje synchronizacji, ale pokazuje fazę krystaliczną, która charakteryzuje się zachowaniem prawa potęgowe liczby spójnych oscylacji subharmonicznych w zależności od rozmiaru systemu. Wynik ten pokazuje, że pojawienie się spójnych oscylacji jest możliwe nawet przy braku synchronizacji.

DOI: [10.1103/PhysRevLett.126.020603](https://doi.org/10.1103/PhysRevLett.126.020603)

Kryształ y czasu [1,2] to faza materii zaproponowana po raz pierwszy przez Shapere'a i Wilczka [3,4]. Sąto zamknięte układy równowagi z niezależnym od czasu hamiltonianem, które wykazują oscylacje w czasie, co odpowiada spontanicznemu złamaniu symetrii translacji czasu. Nazwę wybrano analogicznie do kryształ ów, które wykazują samoistne łamanie symetrii przestrzennej symetrii translacyjnej w wyniku pojawienia się okresowego układu atomów w przestrzeni.

Wkrótce po tej propozycji przedstawiono ogólne dowody na to, że kryształ ów czasu nie da się zrealizować w zamkniętych wielociałowych układach kwantowych z oddziaływaniami krótkiego zasięgu [5,6]. Dyskusja na temat możliwości realizacji kryształ u czasu jest nadal aktywna [7–13].

W porównaniu z początkową propozycją Shapere'a i Wilczka, inny rodzaj łamania symetrii translacji czasu ma miejsce w kryształ ach czasu dyskretne (DTC) [14–18]. Sąto nierównowagowe układy kwantowe z hamiltonianem czasowo-okresowym, dla których złamanie symetrii translacyjnej czasu objawia się występowaniem oscylacji subharmonicznych o okresie dłuższym niż okres hamiltonianu. Te dyskretne kryształ y czasu nie mają kontaktu z łańcuchem łańcuchem dlatego nie rozpraszają energii. Zwykle opierają się na nieporządku i lokalizacji, aby uniknąć stacjonarnego stanu nieskończonej temperatury, który nie wspierałby krystalicznego porządku czasu [15,16,19]. Co ciekawe, DTC zostały zrealizowane w eksperymentach [20–25].

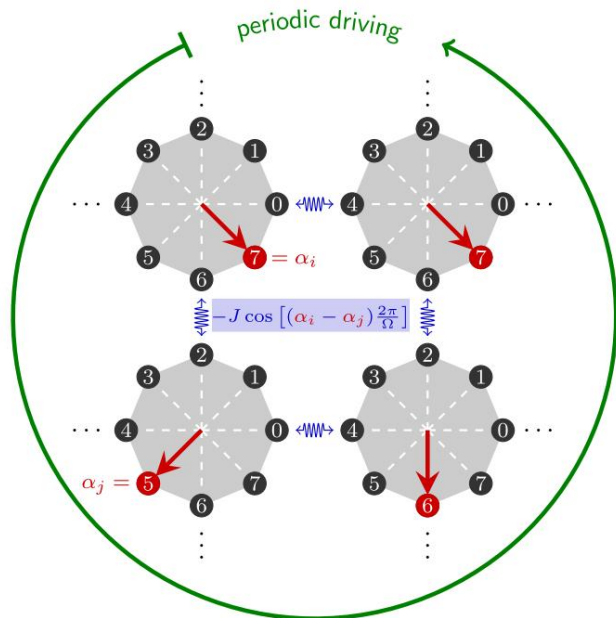
W przypadku takich DTC podłączenie układu do zewnętrznego zbiornika może zniszczyć fazę DTC [26]. Niemniej jednak systemy otwarte w kontakcie ze zbiornikiem zewnętrznym pozwalają na szerszy zakres mechanizmów, które nie opierają się na nieporządku i lokalizacji, ale prowadzą do fazy DTC [27–34]. W rzeczywistości początek oscylacji subharmonicznych w dynamicie

układów w warunkach okresowej jazdy jest znane od dłuższego czasu [35]. Jednakże ilość energii rozproszonej przez DTC jako system otwarty nie została jeszcze oceniona.

W tym Liście przedstawiamy spójny termodynamicznie model klasycznego stochastycznego wielociałowego DTC w kontakcie z łańcuchem łańcuchem Nasz model mieści się w teoretycznych ramach termodynamiki stochastycznej [36–38]. W konsekwencji możemy ocenić tempo wytwarzania entropii, które określa ilość ciepła i energii rozpraszanej przez system. Pokazujemy, że średnia wielkość i jej wahań można wykorzystać do identyfikacji przejścia do fazy DTC.

Mechanizm prowadzący do oscylacji subharmonicznych w naszym modelu różni się od dotychczas proponowanych DTC w układach otwartych. Rozważamy układ wielociałowy, w którym każda izolowana jednostka wykazuje skończoną liczbę spójnych oscylacji subharmonicznych, które po pewnym czasie zanikają pod wpływem szumu [39]. Wprowadzając interakcje pomiędzy tymi jednostkami pokazujemy, że dla siły oddziaływania powyżej pewnej wartości krytycznej liczba spójnych oscylacji subharmonicznych odbiega w granicy termodynamicznej, która jest sygnaturą fazy DTC.

Wersja naszego modelu dla pola średniego wykazuje zjawisko, które nazywamy synchronizacją podharmoniczną Synchronizacja standardowa jest podstawowym zjawiskiem w fizyce, w wyniku którego sprzężone oscylatory wykazują oscylacje kolektywne [40]. W przypadku obserwowanej tutaj synchronizacji podharmonicznej, oscylatory napędzane okresowo wykazują zbiorowe oscylacje podharmoniczne. Niedawno w Ref. zaproponowano model deterministyczny, który wytłumacza synchronizację podharmoniczną [41]; nasz model odpowiada pierwszemu modelowi stochastycznemu z szumem termicznym, który wykazuje synchronizację subharmoniczną



FIGA. 1. Szkic modelu 2D. Zegary z ośmioma stanami reprezentują jednostki w naszym modelu. Są sterowane przez zewnętrzny protokół okresowy, który prowadzi do oscylacji subharmonicznych. Jednostki oddziałują najbliżej szymi sąsiadami, co może prowadzić do fazy DTC, w której liczba podharmonicznych spójnych oscylacji odbiega od granicy termodynamicznej.

Zaskakujący wynik uzyskano w wersji 2D modelu. Nie pokazuje synchronizacji podharmonicznej, podobnie jak powiązane modele synchronizacji standardowej, które nie wykazują synchronizacji w 2D [42,43]. Pokazujemy jednak, że model 2D nadal wykazuje fazę DTC, charakteryzującą się liczbą spójnych oscylacji subharmonicznych, które rosną jak prawo potęgowe wraz z rozmiarem systemu. Wynik ten ma szersze implikacje dla synchronizacji poza kodami DTC, ponieważ pokazuje, że pojawienie się spójnych oscylacji jest możliwe nawet przy braku synchronizacji.

Każda jednostka naszego modelu, co pokazano na rys. 1, to zegar o stanach $\Omega - 3$ oznaczonych jako $\alpha_0; 1; \dots; \Omega - 1$. Dla pojedynczej jednostki szybkość przejścia ze stanu α do $\alpha + 1$ wynosi

$$W_{\alpha \rightarrow \alpha+1} = k e^{-E_{\alpha \rightarrow \alpha+1} / T} \quad (1)$$

podczas gdy szybkość przejścia ze stanu α do $\alpha - 1$ wynosi

$$W_{\alpha \rightarrow \alpha-1} = k e^{-E_{\alpha \rightarrow \alpha-1} / T} \quad (2)$$

gdzie parametr k ustawia skalę czasu. Energia czasowo-okresowa stanu α to $E_{\alpha} \delta t$, czasowo-okresowa bariera energetyczna pomiędzy stanami α i $\alpha + 1$ $\text{mod } \Omega$ to $B_{\alpha \rightarrow \alpha+1} \delta t$. Stała Boltzmanna k_B i temperatura T są przez cały czas ustawione na $k_B / T = 1$. Dla $t = \tau / \Omega$, gdzie τ to okres, energia i bariery energetyczne są określone przez

$$E_{\alpha} \delta t = \alpha \delta t \quad B_{\alpha \rightarrow \alpha+1} \delta t = \alpha + 1 \delta t \quad \text{mod } \Omega \quad (3)$$

I

$$B_{\alpha \rightarrow \alpha+1} \delta t = \alpha + 1 \delta t \quad \text{mod } \Omega; \quad \delta t = 2\pi / \Omega$$

gdzie c jest stałą dodatnią

Model dla pojedynczej jednostki analizowano w pracy [39]. W okresie lonej granicy, gdzie różnice energii i bariery energetyczne się rozchodzą pojedyncza jednostka działa jak zegar, który wysyła światła nieokreślone oscylacje subharmoniczne z okresem $\delta \Omega - 1$ $\text{mod } \Omega$. Dla skończonych wartości c szybkość przejścia fluktuacje termiczne niszczą spójność oscylacji subharmonicznych; tj. dwupunktowe funkcje korelacji w czasie wykazują oscylacje podharmoniczne, które zanikają wykładniczo [39].

W obecnym modelu poszczególne jednostki, które wykazywałyby skończoną liczbę spójnych oscylacji, gdyby były same, oddziałują na siebie. Niezależnie od czasu energia interakcji tego układu wielu ciał z N takimi jednostkami wynosi

$$V_{\alpha} = \sum_{j=1}^N \sum_{i=1}^N \cos(2\pi \alpha_i - \alpha_j) \quad (4)$$

gdzie wektor $\alpha = (\alpha_1; \alpha_2; \dots; \alpha_N)$ reprezentuje stan układu wielu ciał. W przypadku wariantu pola średniego suma w j obejmuje wszystkie jednostki od $j = 1$ do $j = N$ i $j = N$. W przypadku wariantu 2D suma w j wynosi ponad czterech najbliższych sąsiadów, $J = 4$, i rozważamy okresowe warunki brzegowe. Pełny okresowy Hamiltonian modelu to

$$H = \sum_{j=1}^N E_{\alpha_j} \delta t + V_{\alpha} \quad (5)$$

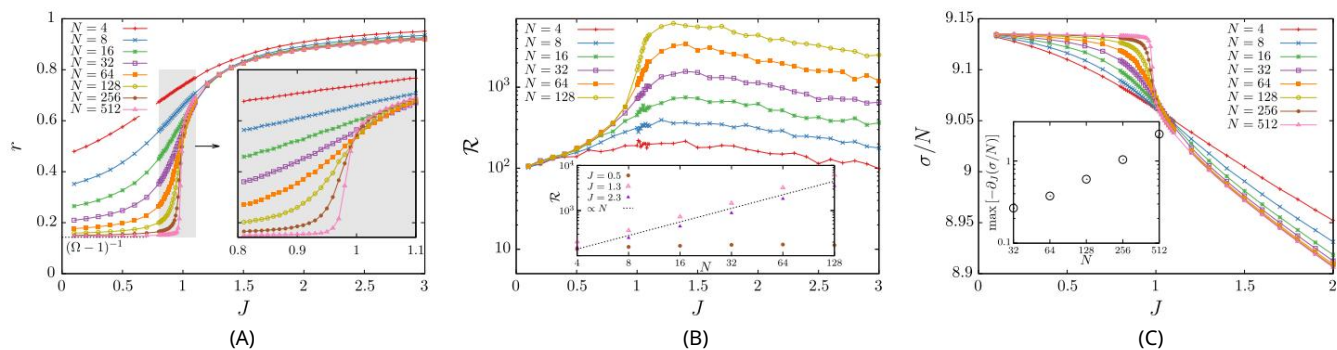
gdzie $E_{\alpha_j} \delta t$ jest dane przez równanie (3).

Przeprowadziliśmy symulacje Monte Carlo tego modelu przy użyciu algorytmu Gillespiego [44]. Szczegółową definicję modelu z konkretnym wyborem współczynników przejściowych, z których korzystaliśmy, można znaleźć w ref. [45]. Parametry modelu ustalono na $k = 40$, $c = 104$, a okres $\tau = 1$. Liczba stanów każdej jednostki wynosi $\Omega = 8$. Podstawowym zjawiskiem, które badamy, jest to, czy dla siły oddziaływania J powyżej pewnej wartości krytycznej oscylacje subharmoniczne stają się spójne w granicy termodynamicznej, co jest oznaką początku fazy DTC. Zmiana ustalonych parametrów prowadzi do wyników, które są ilościowo różne, ale mają te same cechy fizyczne omówione poniżej.

Poniższe obserwacje charakteryzują ten system. Po pierwsze, parametr kolejności synchronizacji różnych zegarów brzmi [40]

$$r_{\alpha} \delta t = \frac{1}{N} \sum_{j=1}^N e^{2\pi i \alpha_j \delta t} = \Omega \quad (6)$$

gdzie $\alpha_j \delta t$ jest stanem jednostki j w chwili t . Ponieważ interesujemy się oscylacjami subharmonicznymi, rozważamy



FIGA. 2. Obserwowalne dla wariantu pola δ redniego w funkcji siły oddziaływania J . (a) Parametr porządku r wskazuje początek synchronizacji podharmonicznej powyżej jej punktu krytycznego. (b) Liczba spójnych oscylacji R rozbiega się w granicy termodynamicznej poniżej jej punktu krytycznego. (c) Stopień produkcji entropii na jednostkę $\sigma=N$; jego pierwsza pochodna odbiega od wartości krytycznej w granicy termodynamicznej, jak pokazano na wstawce.

czas stroboskopowy n , gdzie $r_n = \langle \delta t \rangle$. Wielkość r_n jako funkcja n osiąga wartość r stacjonarną oznaczoną przez r . Jeśli zegary nie są zsynchronizowane, wówczas r zbliża się do $\delta\Omega^{-1} \ll 1$, a nie do 0, co jest związane z faktem, że tylko stany $\delta\Omega^{-1}$ stanów Ω wchodzi w skład oscylacji podharmonicznych [45]. Jeśli zegary podharmoniczne synchronizują się, to $r > \delta\Omega^{-1}$.

Po drugie, liczbę spójnych oscylacji określa się ilościowo za pomocą funkcji korelacji $C_{\delta t}$, która jest gęstość ciężarów w stanie α w chwili t , przy założeniu, że w chwili 0 wszystkie zegary i $1; 2; \dots; N$ są w stanie α . Wielkość $C_{\delta t}$ stroboskopowa $C_n = \frac{1}{N} \sum_{i,j} C_{\delta t}^{ij}(n)$ ma oscylacje, które zanikają wykładniczo w n . Okres oscylacji i czas zaniku zapisuje się odpowiednio jako n_{osc} i n_{dec} . Liczbę spójnych oscylacji subharmonicznych definiuje się jako

$$R = 2\pi n_{dec} / n_{osc} \quad (1)$$

Współczynnik 2π w tej definicji związany jest z faktem, że R można zdefiniować jako stosunek części urojonej i rzeczywistej wartości własnej macierzy podstawowej [39].

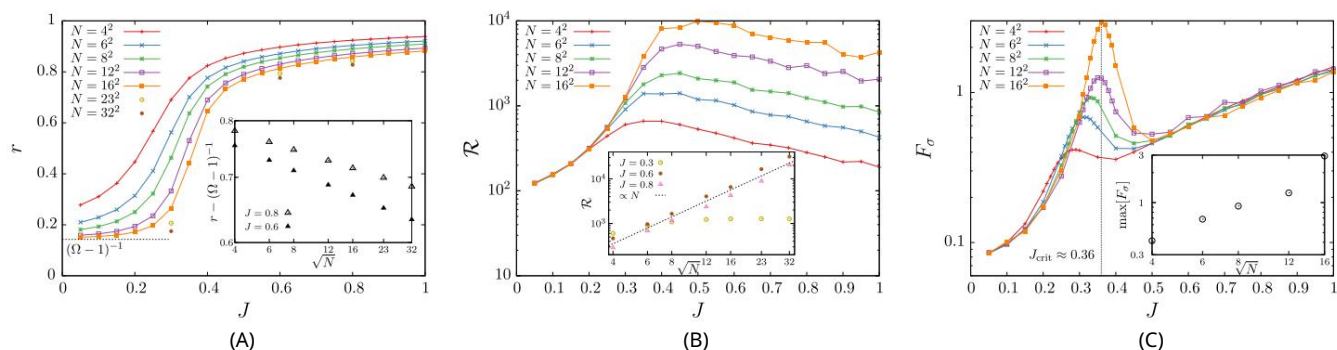
Po trzecie, ilość rozproszonej energii jest określana ilościowo na podstawie termodynamicznego tempa wytwarzania entropii [36]. To obserwowalne ilościowo określa koszt energetyczny DTC; to jest

szybkość pracy wywieranej na układ w wyniku okresowej jazdy. Dla trajektorii stochastycznej z całkowitym czasem T i M skoków, zmiana α $\delta P = \alpha \delta P + \alpha \delta P + \alpha \delta P$ wynosi δP , entropia

$$\chi = \frac{1}{M} \sum_{i=1}^M \ln \delta w_i \quad (2)$$

gdzie $w_i = \delta P + \alpha \delta P$ jest szybkość ciążniejsza ze stanu α δP do stanu $\alpha \delta P$. Średnie tempo wytwarzania entropii wynosi $\sigma = \chi T$, gdzie nawiasy oznaczają średnią po trajektorii stochastycznych. Wahania produkcji entropii są określone ilościowo za pomocą współczynnika Fano, $F_\sigma = \frac{\delta \chi^2}{\sigma} = \frac{\delta \chi^2}{\sigma}$. Obie wielkości, σ i F_σ , są formalnie określone w granicy $T \rightarrow \infty$.

Najpierw przeanalizujemy model pola δ redniego. Wyniki dla parametru rzędu r pokazano na rys. 2(a). Wskazują, że $r > \delta\Omega^{-1}$ dla $J > J_c \approx 0,975$ w granicy termodynamicznej. Ten model pola δ redniego przedstawia nowatorskie zjawisko synchronizacji podharmonicznej. Różni się od pokrewnych modeli standardową synchronizacją bez napędu okresowego [42,43,46]. W tych modelach każda jednostka jest obciążona losowym poślizgiem po okręgu ze stanami Ω . Odchylenie jest generowane przez a



FIGA. 3. Obserwowalne dla wariantu 2D w funkcji siły oddziaływania J . (a) Parametr porządku r , który w granicy termodynamicznej dąży do zera dla wszystkich J . (b) Liczba spójnych oscylacji R rośnie nie wraz z prawem potęgowym. (c) Współczynnik Fano F_σ rośnie nie wraz z rozmiarem systemu.

stała siła termodynamiczna, taka jak energia swobodna hydrolizy trifosforanu adenozy. Natomiast w naszym modelu każda jednostka jest zegarem napędzanym okresowo i wykazuje wietlającą się liczącą liczbę oscylacji subharmonicznych.

Skalowanie liczby spójnych oscylacji R wraz z rozmiarem układu N pokazano na rys. 2 (b). Poniżej punktu krytycznego R ulega nasyceniu. Dlatego oscylacje podharmoniczne nie trwają nieskończenie w granicy termodynamicznej, ale zanikają pewnym okresie przejściowym. Powyżej punktu krytycznego R odbiega od rozmiaru systemu jako prawa potęgowa, z wykładnikiem zgodnym z 1. Dla $J < J_{crit}$ oscylacje podharmoniczne stają się zatem nieokreślone w granicy $N \rightarrow \infty$, co odpowiada fazie DTC. Na rys. 2(b) można także zaobserwować, że R staje się mniejsze dla dużych wartości siły oddziaływania J . Wynik ten można wytłumaczyć obserwacją, że w granicy J nieskończenie większej od zależnej od czasu części energii, miałobyśmy standardowy model równowagi bez oscylacji subharmonicznych.

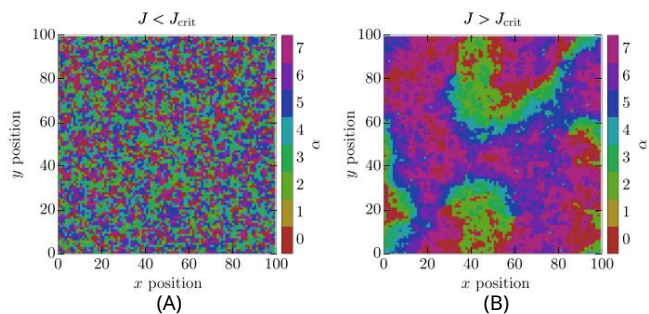
Ponieważ nasz model DTC jest spójny termodynamicznie, możemy ocenić, ile energii rozprasza ten DTC, korzystając z równania (9). Na rys. 2(c) pokazujemy tempo wytwarzania entropii na jednostkę $\sigma=N$ jako funkcję siły oddziaływania J dla różnych wartości N . Maksimum pierwszej pochodnej $\sigma=N$ względem J jako funkcja N wydaje się być zgodna z prawem potęgowym, które wskazuje, że pochodna ta jest rozbieżna w granicy $N \rightarrow \infty$.

Mając do dyspozycji wartości N , które były dostępne w naszych symulacjach, nie byliśmy w stanie wiarygodnie określić wykładnika. Nasz wynik wskazuje, że w granicy termodynamicznej występuje nieciągłość w tempie wytwarzania entropii na jednostkę, $\sigma=N$.

Dla modelu 2D otrzymujemy wyniki jakościowo odmienne od wyników dla modelu pola średniego. Jak pokazano na rys. 3(a), nawet dla obszarów, w których parametr porządku r wydaje się być większy niż $\delta\Omega \approx 1$ w systemie skończonym, $r \approx \delta\Omega \approx 1$ rozpada się do zera jako prawo potęgowe wraz z rozmiarem systemu. Zatem w modelu 2D nie ma synchronizacji podharmonicznej, gdzie $r \approx \delta\Omega \approx 1$ dla dowolnej wartości J w granicy termodynamicznej.

Co ciekawe, mimo że model 2D nie wykazuje synchronizacji podharmonicznej, nadal wykazuje wietlającą fazę DTC. Dla wystarczająco dużego J liczba spójnych oscylacji rośnie jako prawo potęgowe wraz z rozmiarem systemu, jak pokazano na rys. 3 (b). Podobnie do wersji pola średniego, wykładnik wynosi w przybliżeniu 1, niezależnie od wartości J .

Jeśli chodzi o szybkość wytwarzania entropii w modelu 2D, nie możemy zidentyfikować w naszych danych liczbowych żadnego nieanalitycznego zachowania $\sigma=N$ lub jego pierwszej pochodnej w punkcie krytycznym [45]. Nie możemy wykluczyć nieanalitycznego zachowania instrumentów pochodnych wyższego rzędu. Jednakże możemy zaobserwować oznakę przejścia fazowego w wahaniami wytwarzania entropii, co określa się ilościowo za pomocą współczynnika Fano F_0 . Jak pokazano na rys. 3 (c), maksimum F_0 rośnie wraz z rozmiarem systemu, co wskazuje, że współczynnik Fano może się różnić w moim liwym punkcie krytycznym granicy termodynamicznej. Nie mogliśmy ustalić ani



FIGA. 4. Porządek dalekiego zasięgu w modelu 2D. Osie reprezentują współrzędne przestrzenne siatki 2D. Migawka (a) odpowiada modelowi poniżej punktu krytycznego, a migawka (b) odpowiada fazie DTC powyżej punktu krytycznego. Kolory to $N/1000$, stan jednostki a_i reprezentujący liczbę 7. Parametry $1/0; 1; \dots; J/10, 2$ dla (a) i $J/10, 8$ dla (b). Zdjęcia te wykonano dla czasu stroboskopowego $n/1000$.

wykładnik powiązany z tą rozbieżnością cięży sposobem wiarygodny ani punkt krytyczny w przypadku naszych liczb. Dodatkowo, w modelach oscylacji biochemicznych zaobserwowano rozbieżność tego czynnika Fano w stanie krytycznym [47].

Dalsze dowody możliwości przejścia fazowego w modelu 2D pokazano na rys. 4, który zawiera migawki stanu systemu. To zdjęcie pokazuje, że powyżej punktu krytycznego panuje porządek dalekiego zasięgu z utworzeniem wysp o określonej orientacji. Wynik ten jest podobny do obserwacji zjawiska „typu Kosterlitz-Thoulessa” w modelu 2D oddziaływujących hałaśliwych oscylatorów (bez okresowego sterowania) [42,43]. Stał nasz model 2D DTC to układ wielociałowy o wymiarach przestrzennych i interakcjach krótkiego zasięgu, który wykazuje porządek dalekiego zasięgu, który jest kluczową cechą DTC (patrz np. Ref. [27]).

Podsumowując, wprowadziliśmy model paradygmatyczny stochastycznego układu wielociałowego w kontakcie z łańcuchem, który wykazuje wietlającą fazę DTC. W wersji pola średniego stwierdzono zjawisko synchronizacji subharmonicznej, w wyniku której oscylatory napędzane okresowo wykazują synchronizowane oscylacje subharmoniczne.

W przypadku wariantu 2D nie ma synchronizacji. Istnieje jednak bogata fenomenologia z fazą DTC, która charakteryzuje się zachowaniem potęgowym liczby spójnych oscylacji subharmonicznych. Pojawienie się nieokreślonych spójnych oscylacji może być możliwe nawet przy braku synchronizacji. Wynik ten wykracza poza DTC i jest potencjalnie istotny dla synchronizacji i oscylacji biochemicznych. W tym kontekście przyszłe prace powinny zbadać rolę nieporządku w okresie napędu i w krajobrazie energetycznym poszczególnych jednostek.

Jako pierwszy krok w stronę termodynamiki DTC obliczyliśmy wytwarzanie entropii i pokazaliśmy, w jaki sposób można ją wykorzystać wraz z powiązanym współczynnikiem Fano jako wskaźnik przejścia do fazy DTC. O ile pierwotną koncepcję kryształów czasu można powiązać z wiecznym ruchem, o tyle w układzie otwartym ze spójnym drugim prawem, takim jak analizowane tutaj, można wykluczyć takie zjawisko.

Nasze wyniki dają między innymi możliwość zbudowania konkretnego modelu teoretycznego subharmonicznego silnika cieplnego, który łamię symetrię translacji czasu. Interesujące byłoby zbadanie, czy moc i sprawność takiego silnika cieplnego są ograniczone zależnościami, które stwierdzono dla silników cieplnych cyklicznych i stacjonarnych [48–51]

- [1] K. Sacha i J. Zakrzewski, *Rep. Prog. Fiz.* 81, 016401 (2018).
- [2] V. Khemani, R. Moessner i S. Sondhi, *arXiv:1910.10745*.
- [3] F. Wilczek, *Ph. Wielebny Lett.* 109, 160401 (2012).
- [4] A. Shapere i F. Wilczek, *Phys. Wielebny Lett.* 109, 160402 (2012).
- [5] P. Bruno, *fiz. Wielebny Lett.* 111, 070402 (2013).
- [6] H. Watanabe i M. Oshikawa, *Phys. Wielebny Lett.* 114, 251603 (2015).
- [7] VK Kozin i O. Kyriienko, *Phys. Wielebny Lett.* 123, 210602 (2019).
- [8] V. Khemani, R. Moessner i S. Sondhi, *arXiv:2001.11037*.
- [9] VK Kozin i O. Kyriienko, *arXiv:2005.06321*.
- [10] P. Öhberg i EM Wright, *Phys. Wielebny Lett.* 123, 250402 (2019).
- [11] A. Syrwid, A. Kosior i K. Sacha, *Phys. Wielebny Lett.* 124, 178901 (2020).
- [12] P. Öhberg i EM Wright, *Phys. Wielebny Lett.* 124, 178902 (2020).
- [13] A. Syrwid, A. Kosior i K. Sacha, *Phys. Rev. Research* 2, 032038 (2020).
- [14] K. Sacha, *fiz. Rev. A* 91, 033617 (2015).
- [15] V. Khemani, A. Lazarides, R. Moessner i S. Sondhi, *Phys. Wielebny Lett.* 116, 250401 (2016).
- [16] DV Else, B. Bauer i C. Nayak, *Phys. Wielebny Lett.* 117, 090402 (2016).
- [17] A. Pizzi, J. Knolle i A. Nunnenkamp, *Phys. Wielebny Lett.* 123, 150601 (2019).
- [18] FM Surace, A. Russomanno, M. Dalmonte, A. Silva, R. Fazio i F. Iemini, *Phys. Rev. B* 99, 104303 (2019).
- [19] R. Moessner i S. Sondhi, *Nat. Fiz.* 13, 424 (2017).
- [20] J. Zhang, P. Hess, A. Kyprianidis, P. Becker, A. Lee, J. Smith, G. Pagano, I.-D. Potirniche, AC Potter, A. Vishwanath i in., *Nature (London)* 543, 217 (2017).
- [21] S. Choi, J. Choi, R. Landig, G. Kucsko, H. Zhou, J. Isoya, F. Jelezko, S. Onoda, H. Sumiya, V. Khemani i in., *Nature (London)* 543, 221 (2017).
- [22] S. Pal, N. Nishad, TS Mahesh i G. Sreejith, *Phys. Wielebny Lett.* 120, 180602 (2018).
- [23] J. Rovny, RL Blum i SE Barrett, *Phys. Wielebny Lett.* 120, 180603 (2018).
- [24] J. Smits, L. Liao, HTC Stoof i P. van der Straten, *Phys. Wielebny Lett.* 121, 185301 (2018).
- [25] K. Giergiel, A. Kosior, P. Hannaford i K. Sacha, *Phys. Rev. A* 98, 013613 (2018).
- [26] A. Lazarides i R. Moessner, *Phys. Rev. B* 95, 195135 (2017).
- [27] NY Yao, C. Nayak, L. Balents i MP Zaletel, *Nat. Fiz.* 16, 438 (2020).
- [28] Z. Gong, R. Hamazaki i M. Ueda, *Phys. Wielebny Lett.* 120, 040404 (2018).
- [29] RRW Wang, B. Xing, GG Carlo i D. Poletti, *Phys. Rev. E* 97, 020202(R) (2018).
- [30] FM Gambetta, F. Carollo, M. Marcuzzi, JP Garrahan i I. Lesanovsky, *Phys. Wielebny Lett.* 122, 015701 (2019).
- [31] FM Gambetta, F. Carollo, A. Lazarides, I. Lesanovsky i JP Garrahan, *Phys. Rev. E* 100, 060105(R) (2019).
- [32] TL Heugel, M. Oscity, A. Eichler, O. Zilberberg i R. Chitra, *fiz. Wielebny Lett.* 123, 124301 (2019).
- [33] B. Buča, J. Tindall i D. Jaksch, *Nat. komuna.* 10, 1730 (2019).
- [34] C. Booker, B. Buča i D. Jaksch, *New J. Phys.* 22, 085007 (2020).
- [35] RE Goldstein, *Phys. Dziś* 71, nr 9, 32 (2018).
- [36] U. Seifert, *Rep. Prog. Fiz.* 75, 126001 (2012).
- [37] C. Jarzyński, *Annu. Ks. Condens. Materia Fiz.* 2, 329 (2011).
- [38] CV den Broeck i M. Esposito, *Physica (Amsterdam)* 418A, 6 (2015).
- [39] L. Oberreiter, U. Seifert i AC Barato, *Phys. Rev. E* 100, 012135 (2019).
- [40] S. Gupta, A. Campa i S. Ruffo, *Statistical Physics of Synchronization* (Springer, Nowy Jork, 2018).
- [41] R. Khasseh, R. Fazio, S. Ruffo i A. Russomanno, *Phys. Wielebny Lett.* 123, 184301 (2019).
- [42] K. Wood, C. Van den Broeck, R. Kawai i K. Lindenberg, *Phys. Wielebny Lett.* 96, 145701 (2006).
- [43] K. Wood, C. Van den Broeck, R. Kawai i K. Lindenberg, *Fiz. Rev. E* 74, 031113 (2006).
- [44] DT Gillespie, *J. Phys. Chem.* 81, 2340 (1977).
- [45] Patrz materiał y dodatkowe pod adresem <http://link.aps.org/supplemental/10.1103/PhysRevLett.126.020603> w celu uzyskania szczegółowej definicji modelu i danych dotyczących szybkości wytwarzania entropii dla modelu 2D.
- [46] T. Herpich, J. Thingna i M. Esposito, *Phys. Rev. X* 8, 031056 (2018).
- [47] B. Nguyen, U. Seifert i AC Barato, *J. Chem. Fiz.* 149, 045101 (2018).
- [48] M. Esposito, K. Lindenberg i C. Van den Broeck, *Phys. Wielebny Lett.* 102, 130602 (2009).
- [49] N. Shiraishi, K. Saito i H. Tasaki, *Phys. Wielebny Lett.* 117, 190601 (2016).
- [50] P. Pietzonka i U. Seifert, *Phys. Wielebny Lett.* 120, 190602 (2018).
- [51] T. Koyuk i U. Seifert, *Phys. Wielebny Lett.* 122, 230601 (2019).